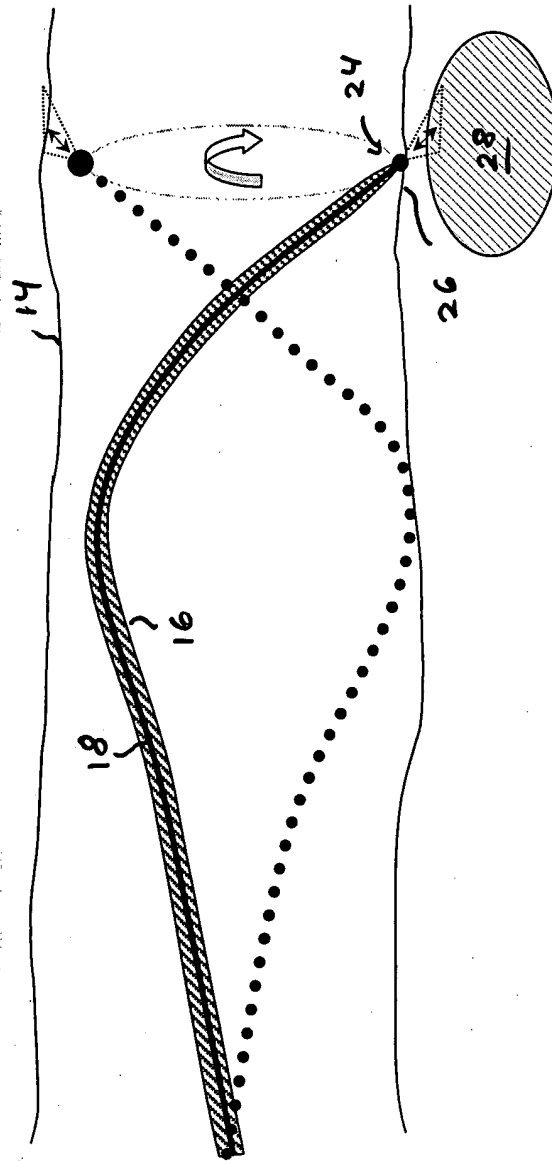


FIG. 1

**FIG 2.**

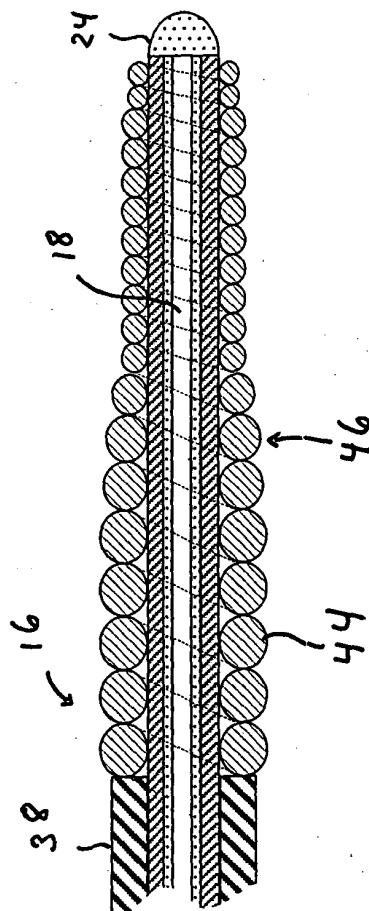


FIG. 3

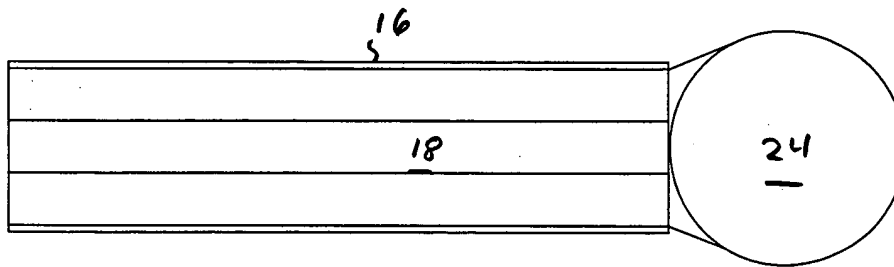


FIG. 4A

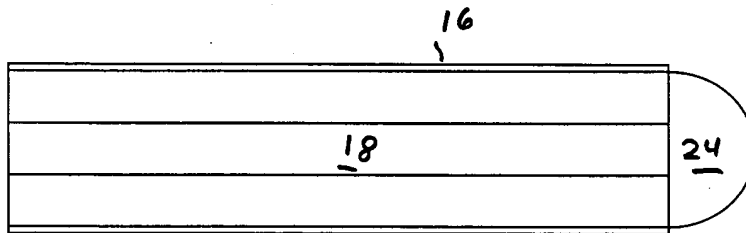


FIG. 4B

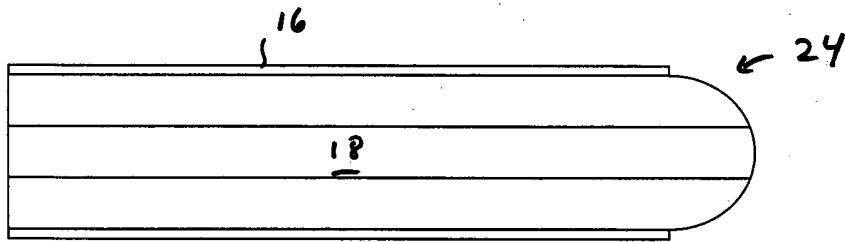


FIG. 4C

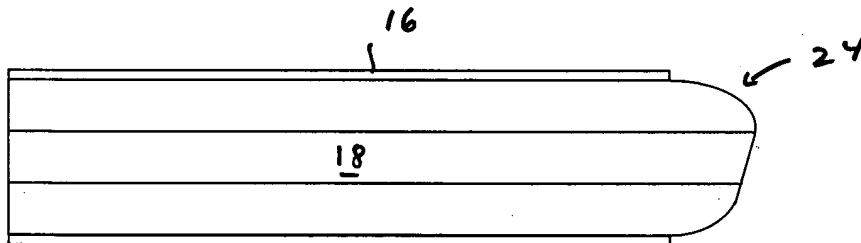


FIG. 4D

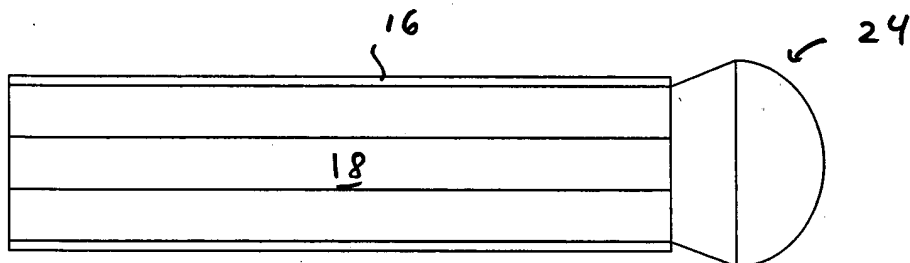


FIG. 4E

FIG. 4F

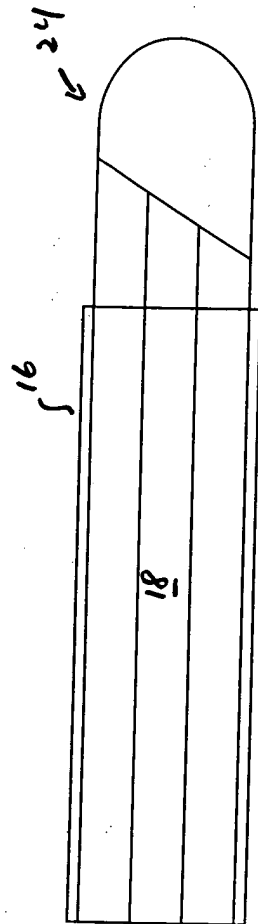


FIG. 4G

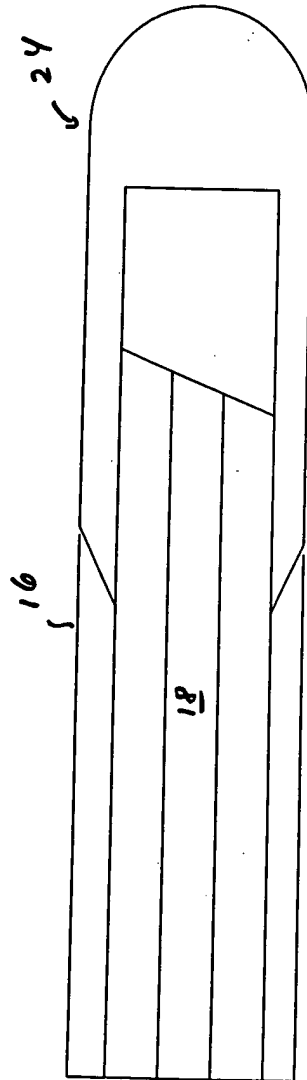


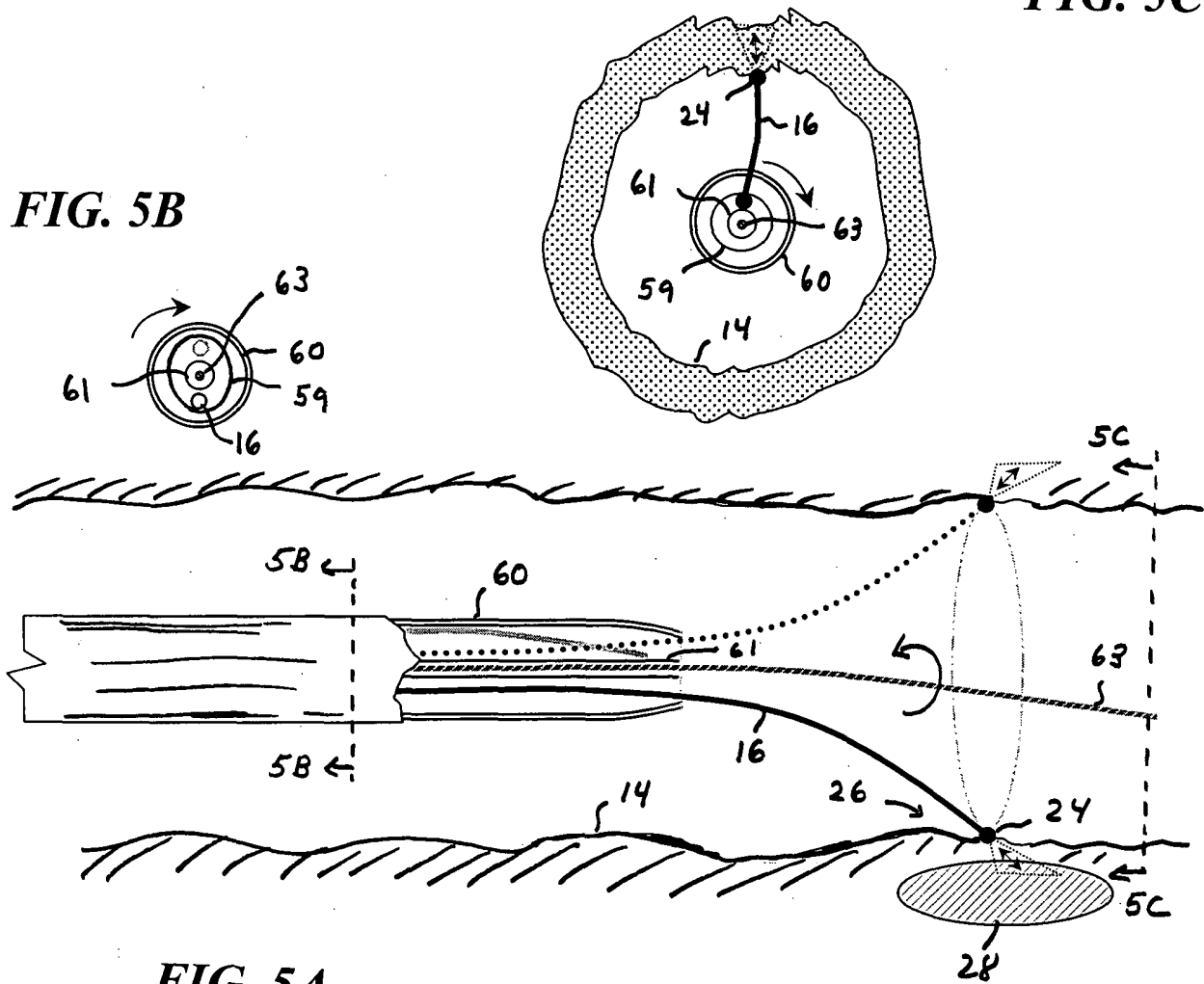
FIG. 5C**FIG. 5B****FIG. 5A**

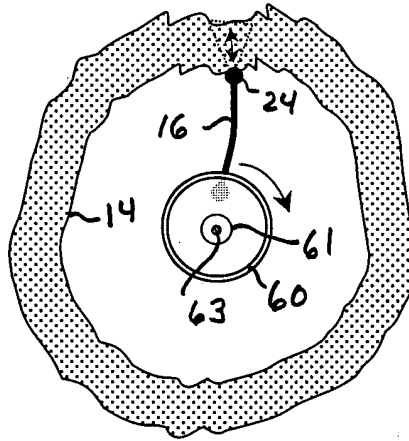
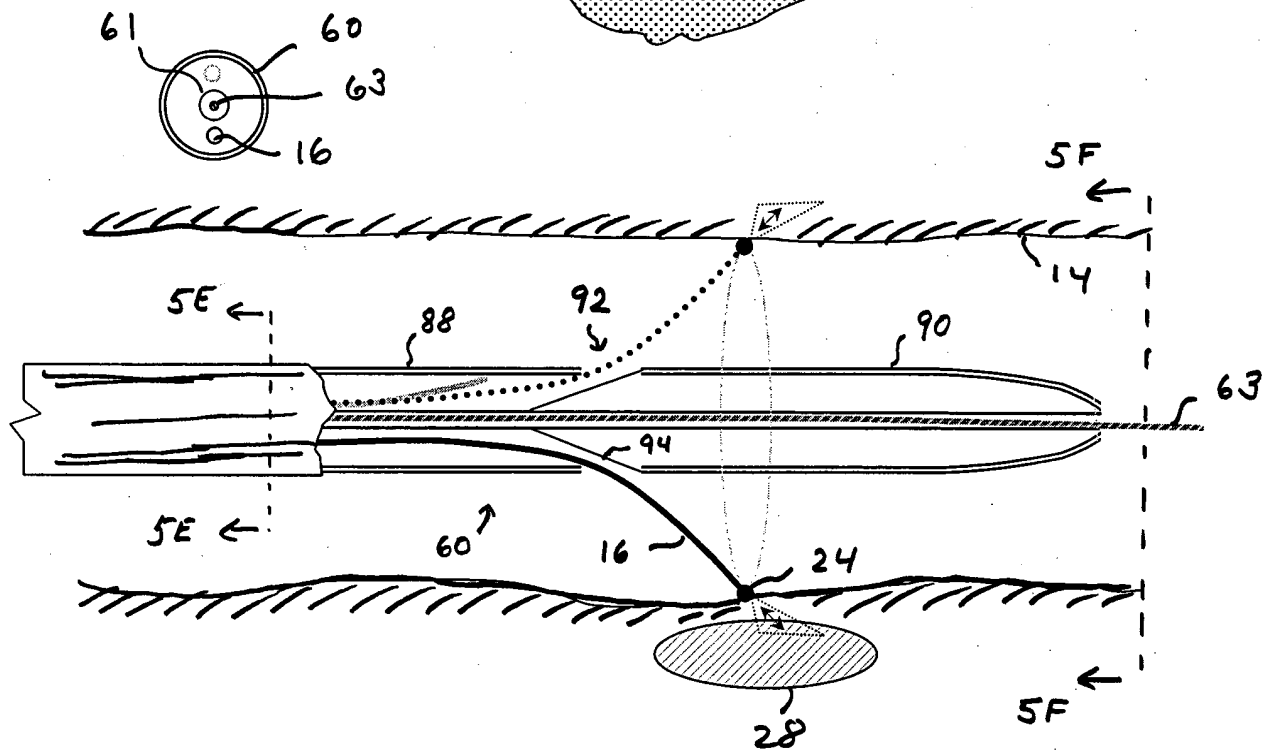
FIG. 5F**FIG. 5E****FIG. 5D**

FIG. 6C

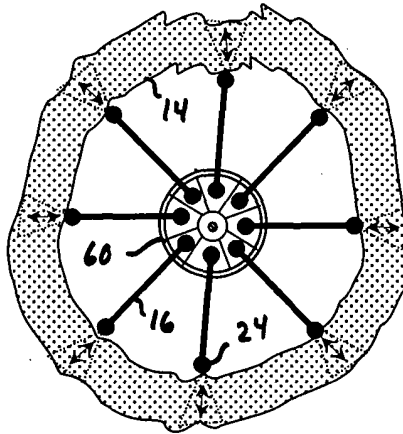


FIG. 6B

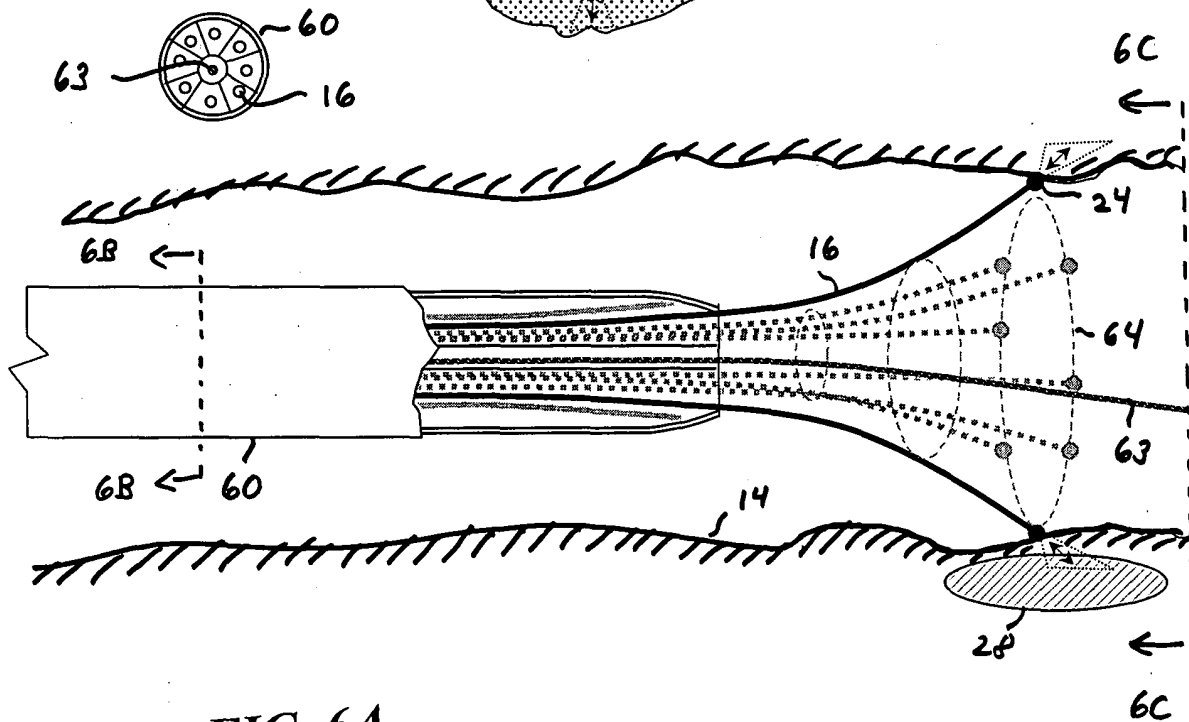
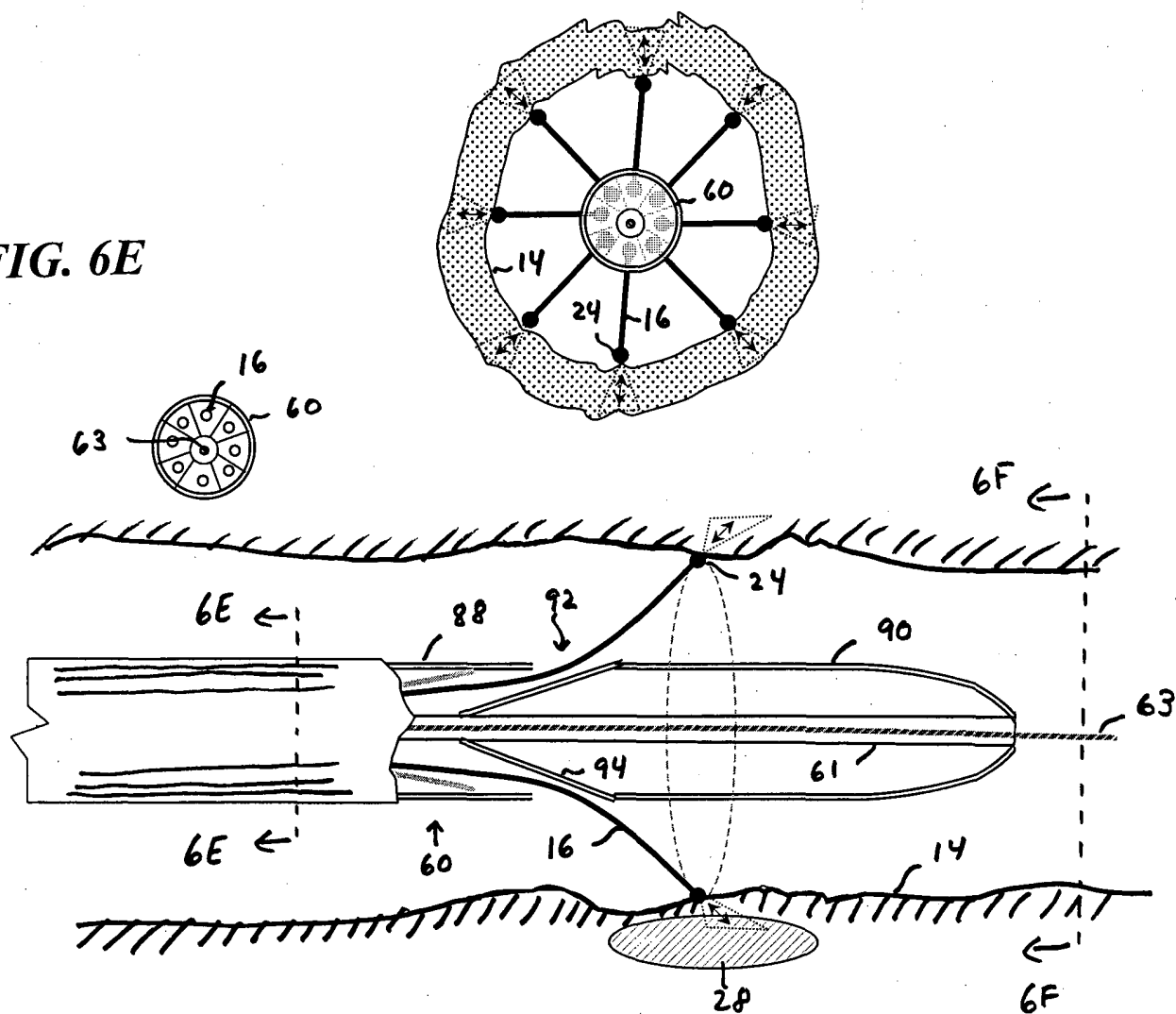


FIG. 6A

FIG. 6F**FIG. 6E****FIG. 6D**

Applicant(s): Andres F. Zuluaga et al.
INTRALUMINAL SPECTROSCOPE WITH WALL
CONTACTING PROBE

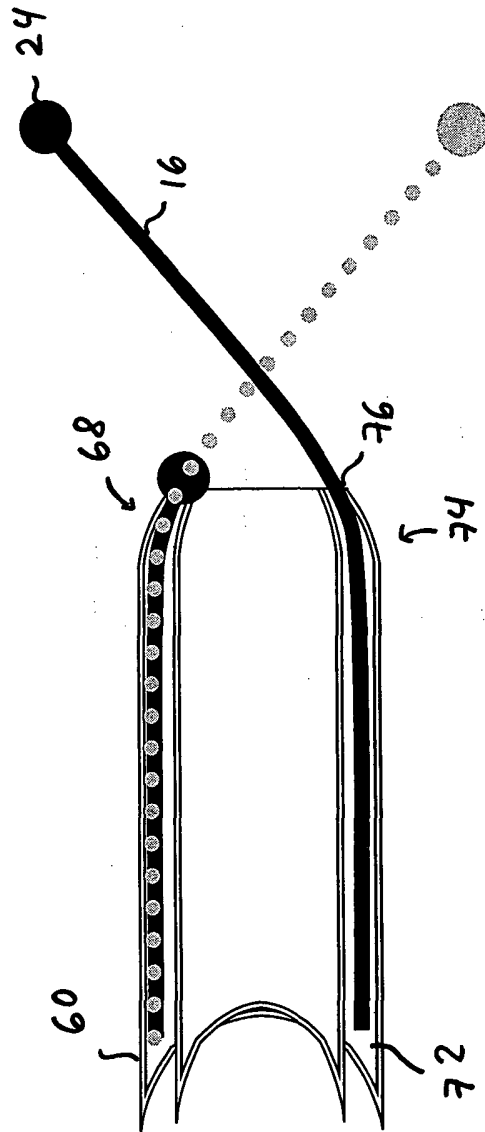


FIG. 7A

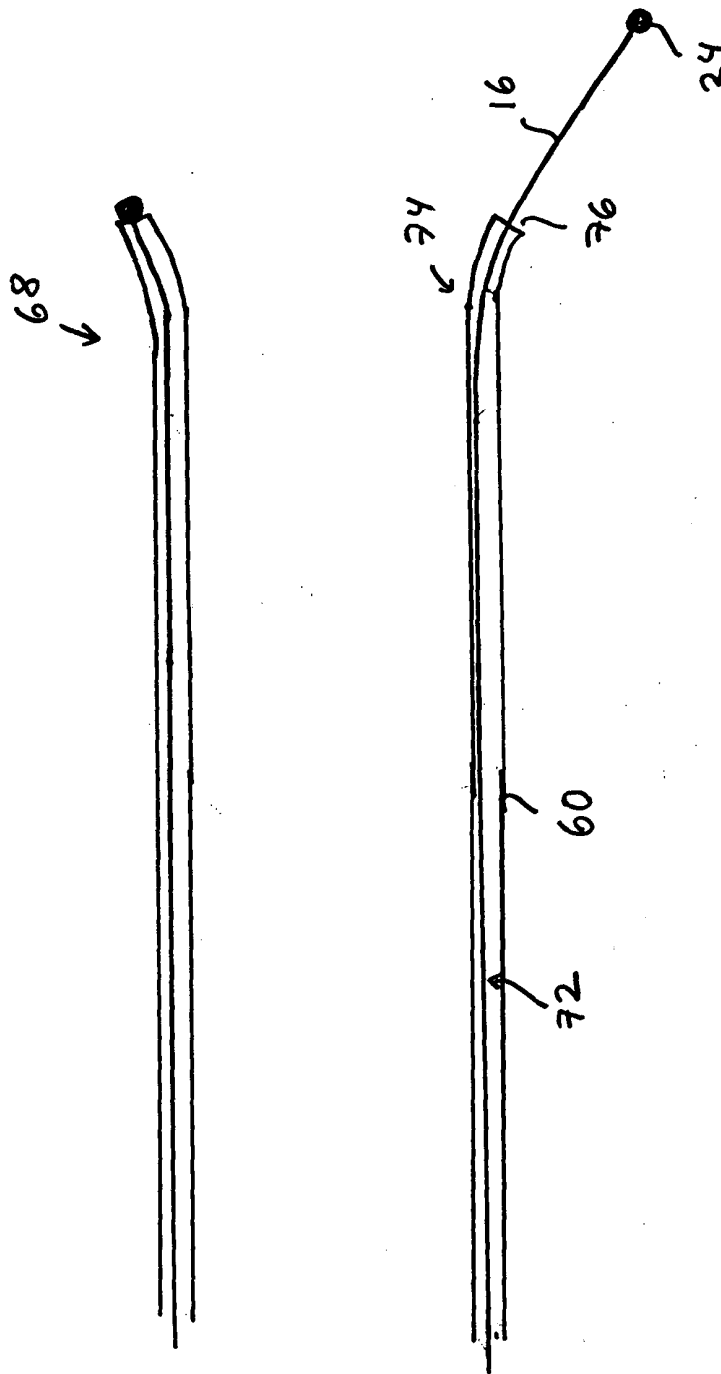


FIG. 7B

FIG. 8A

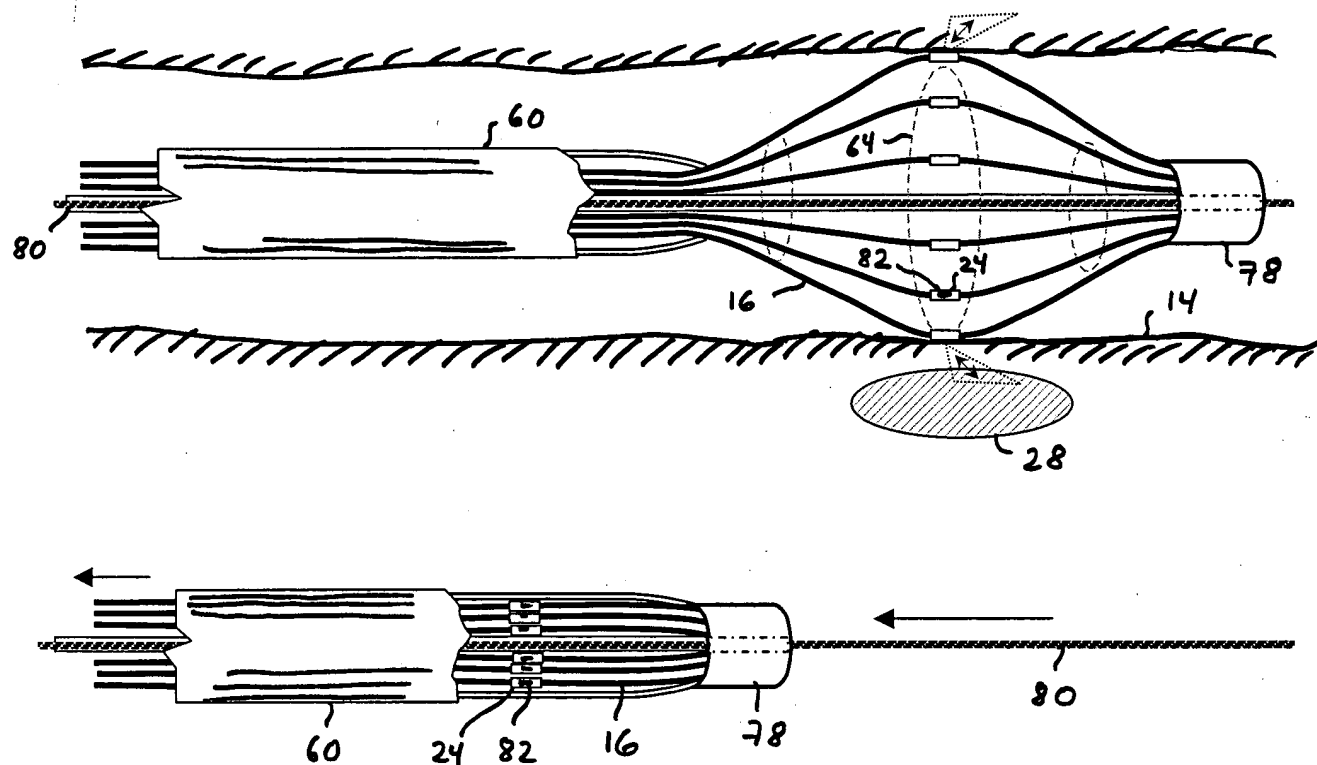
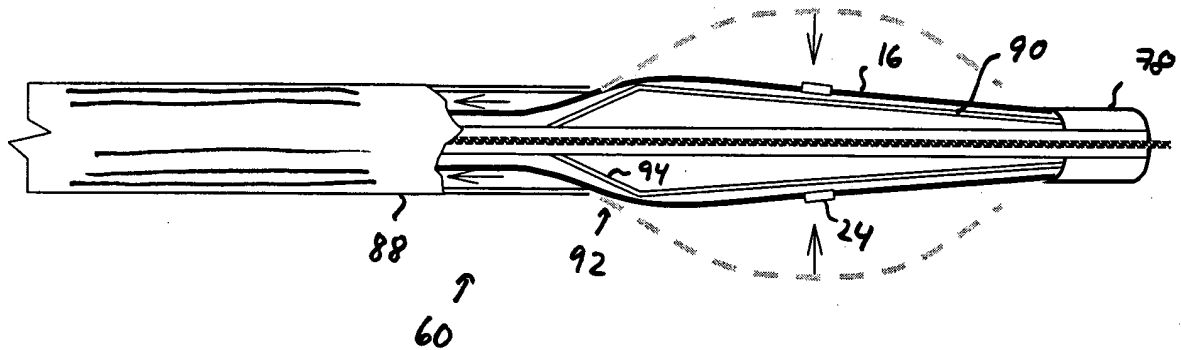
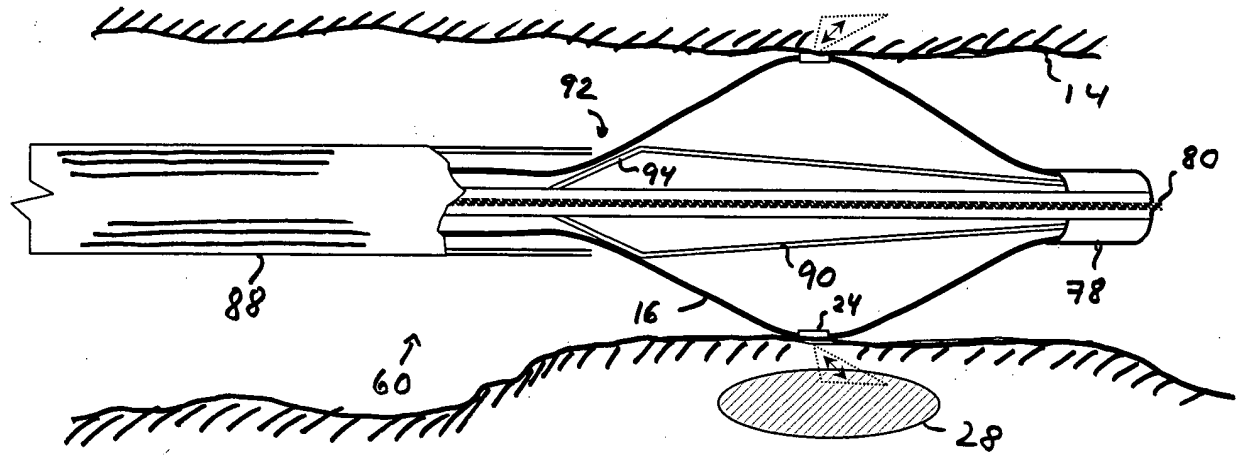


FIG. 8B

FIG. 8C**FIG. 8D**

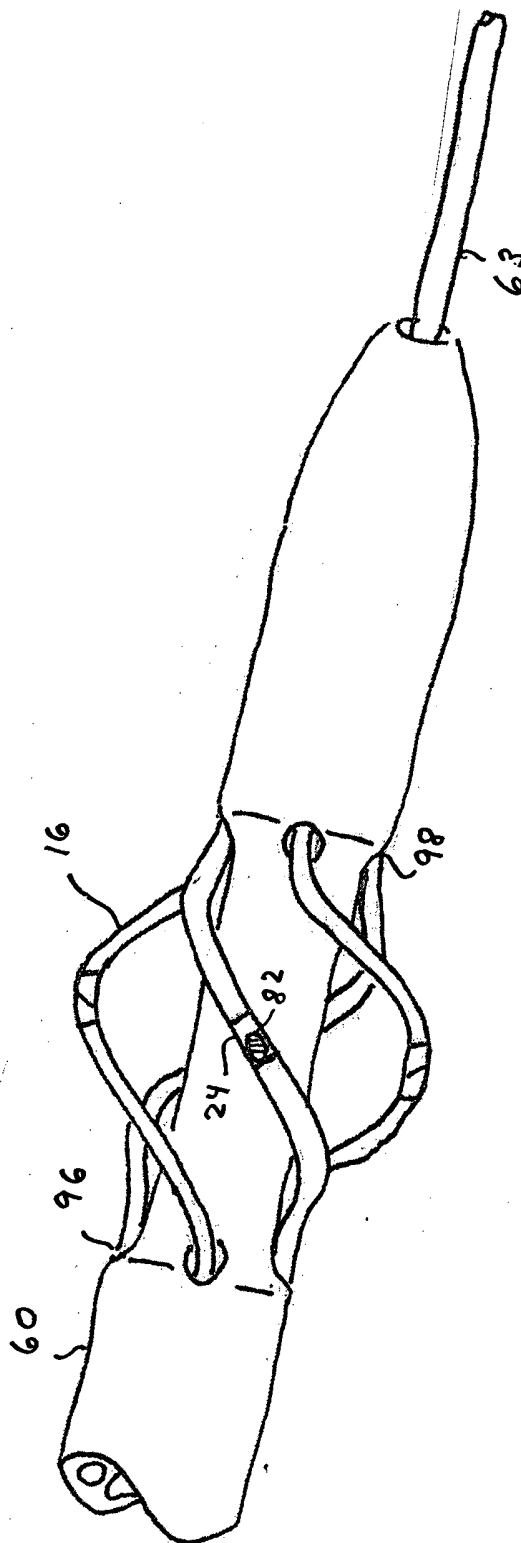


FIG. 8E

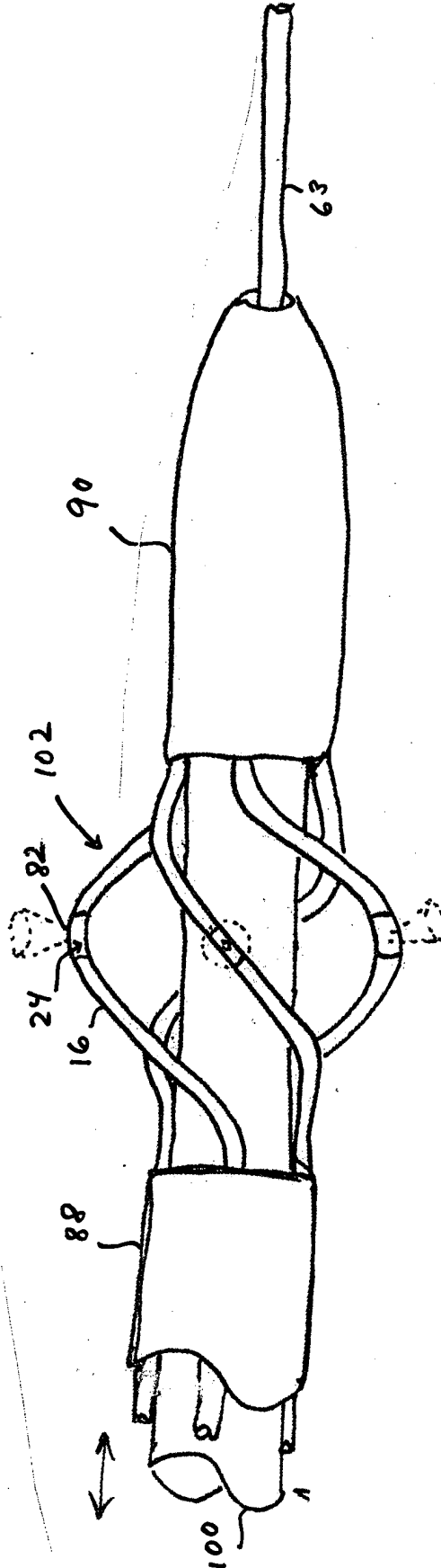


FIG. 8F

Applicant(s): Andres F. Zuluaga et al.
INTRALUMINAL SPECTROSCOPE WITH WALL
CONTACTING PROBE

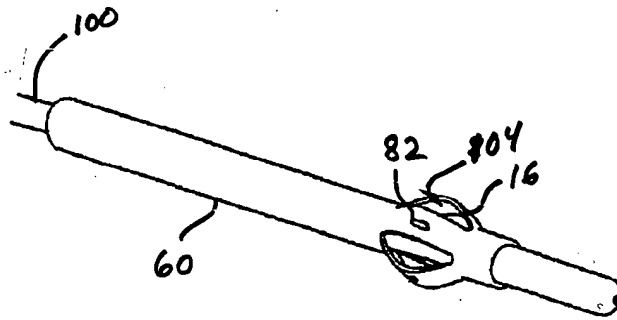


FIG. 8G

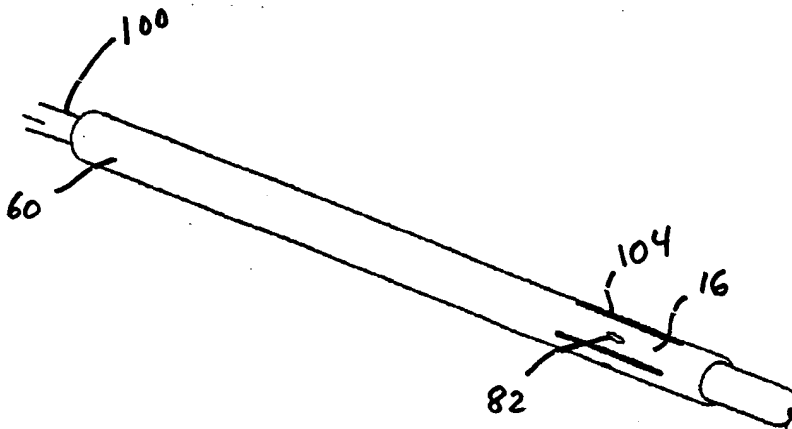
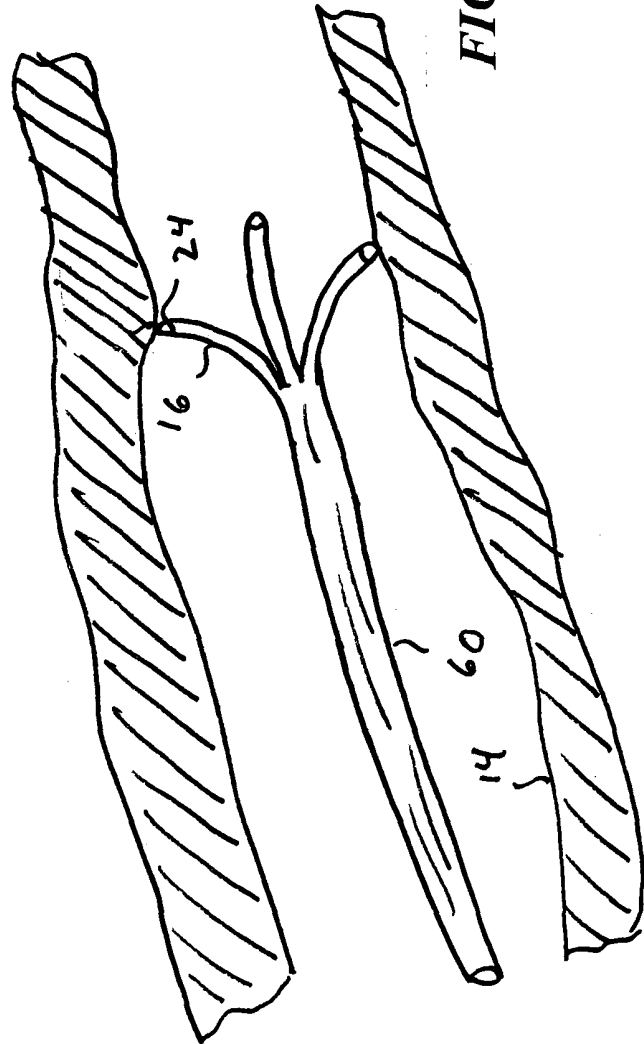
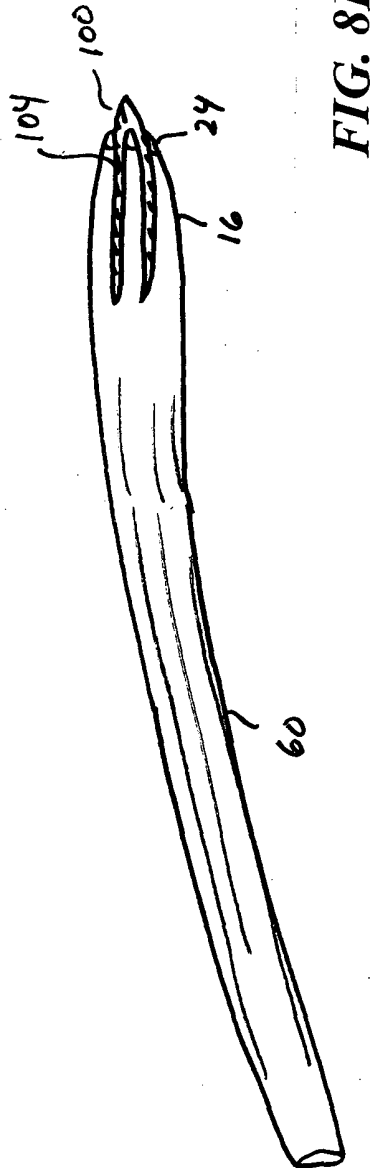


FIG. 8H



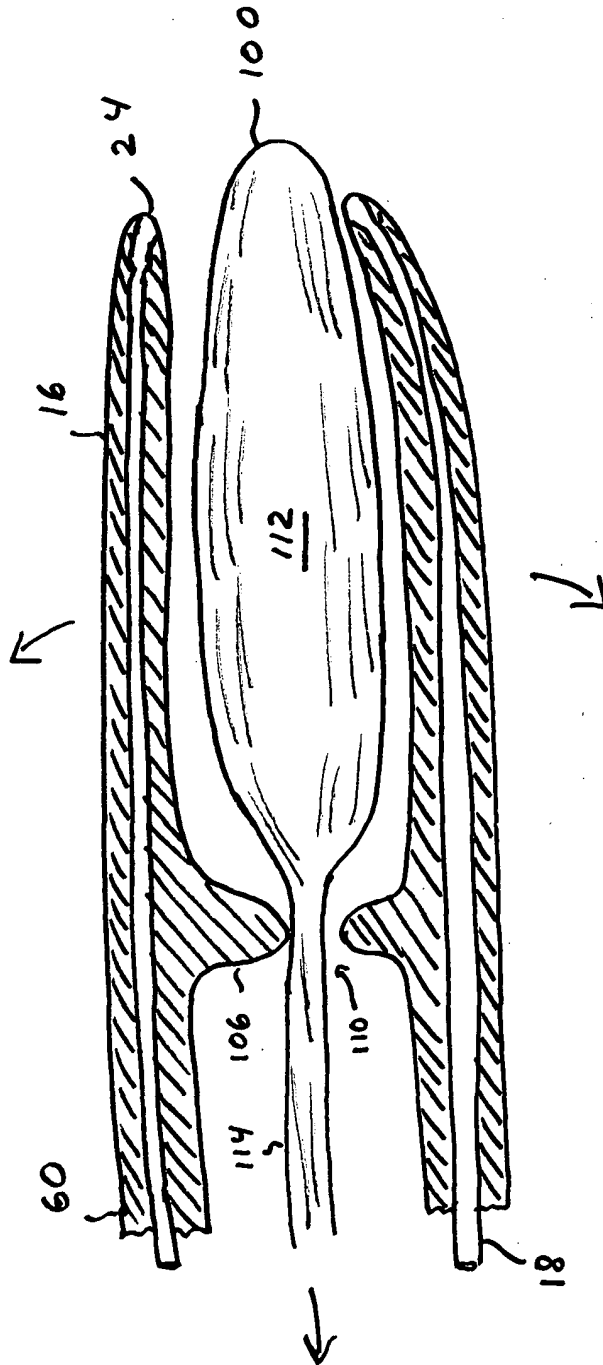


FIG. 8K

FIG. 9A

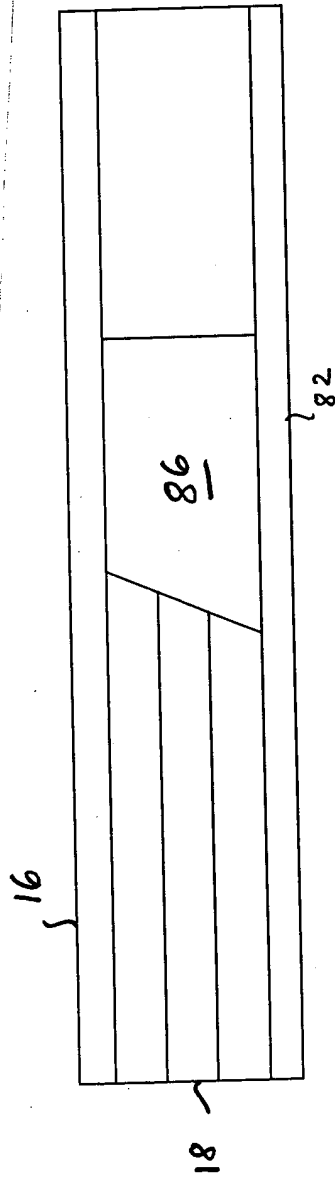


FIG. 9B

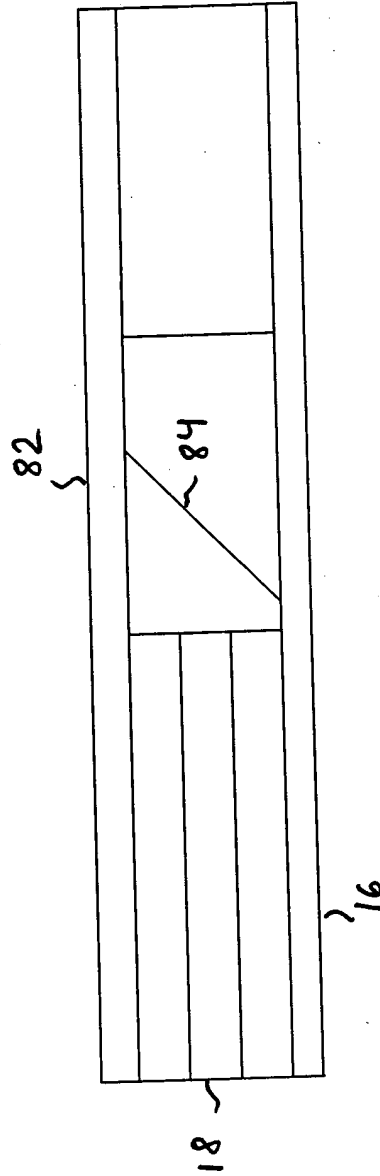


FIG. 9C

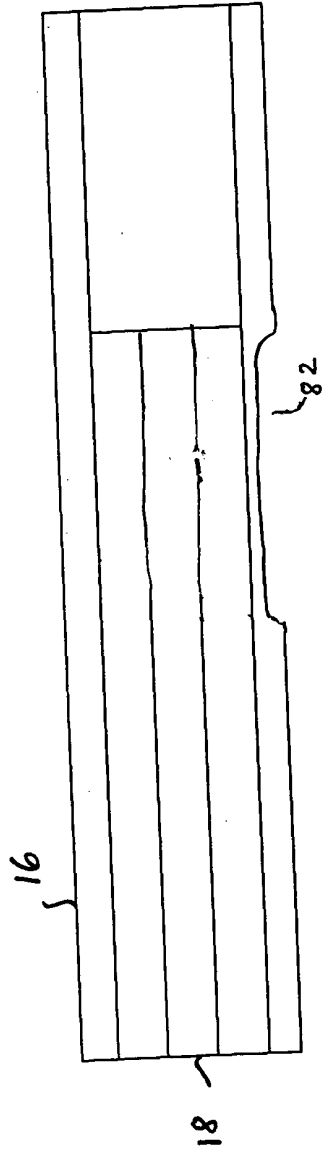


FIG. 9D

